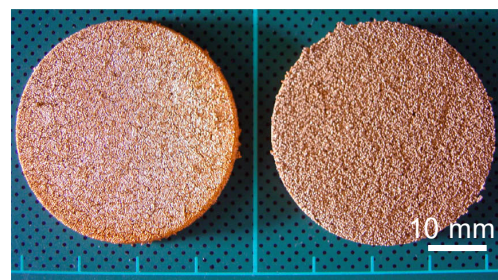


บทที่ 3

ผลและการอภิปรายผล

จากการทดลองผลิตโลหะบรรอนซ์พูน จะได้ชิ้นงานเป็นแผ่นกลมบางที่มีขนาดเส้นผ่าศูนย์กลางประมาณ 38.1 มิลลิเมตร และหนาประมาณ 3.18 มิลลิเมตร ซึ่งมีลักษณะดังแสดงในรูปที่ 3.1



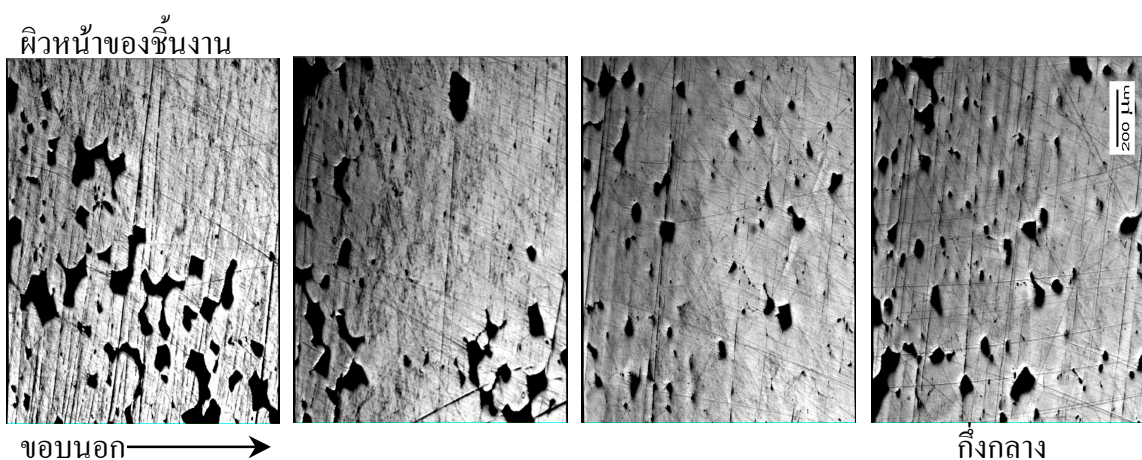
รูปที่ 3.1 ลักษณะชิ้นงานจากผงบรรอนซ์ขนาด 150 ไมโครเมตร อบพนักที่อุณหภูมิ 900 องศาเซลเซียส เป็นเวลา 30 นาที

3.1 อิทธิพลของขนาดอนุภาค

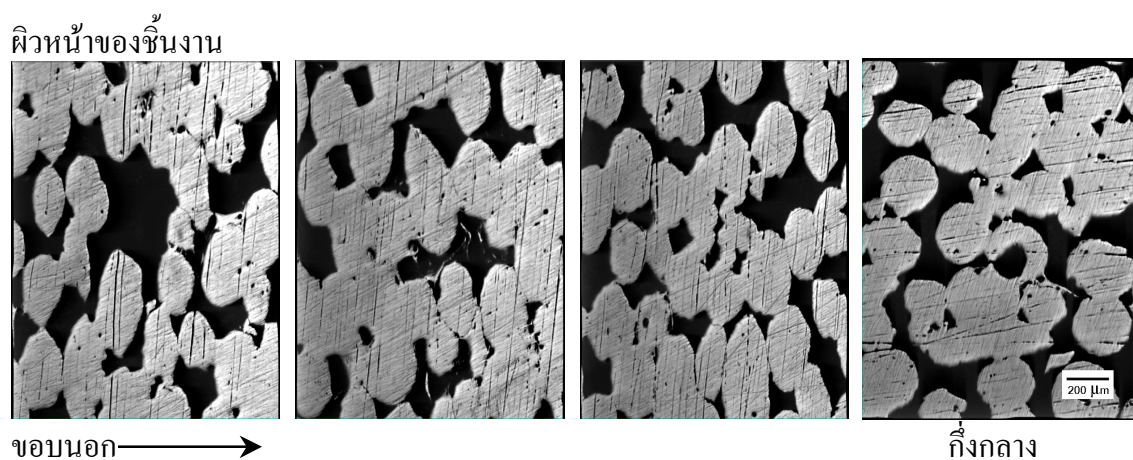
3.1.1 สัณฐานวิทยา (Morphology) ลักษณะของชิ้นงานที่ได้จากผงบรรอนซ์ทั้งสามขนาด จะมีความแตกต่างกันอย่างเห็นได้ชัด เมื่อวิเคราะห์ภาพการกระจายของรูพูนในชิ้นงาน (รูปที่ 3.2-3.4) ด้วยเครื่อง image analyzer จะได้ค่าดังตารางที่ 3.1 ซึ่งพบว่าชิ้นงานที่ทำจากผงขนาดใหญ่จะมีรูพูนขนาดใหญ่กว่าชิ้นงานที่ทำจากผงขนาดเล็กกว่า และขนาดอนุภาคล่วงผลโดยตรงต่อการกระจายตัวของรูพูน จากตารางพบว่าเมื่อผงอนุภาคมีขนาดโตขึ้นอัตราส่วนของพื้นที่รูพูนจะเพิ่มตาม ซึ่งมีความสัมพันธ์กับความหนาแน่นของชิ้นงาน (รูปที่ 3.5) เมื่อขนาดอนุภาคโตขึ้น ชิ้นงานที่อบพนักในสภาพเดียวกันจะมีความหนาแน่นน้อยกว่า เนื่องจากผงอนุภาคโตจะต้องใช้อุณหภูมิในการอบพนักที่สูงกว่าผงที่มีขนาดอนุภาคเล็ก เพราะอนุภาคขนาดโตจะมีพื้นที่ผิวสัมผัสระหว่างอนุภาคน้อยกว่า ดังนั้นอนุภาคขนาดเล็กสามารถอบพนักได้เร็วกว่าขนาดโต เกิดการ bulk transport เร็วขึ้นทำให้เกิดการหลดตัวเร็วขึ้นเมื่ออบพนักในสภาพที่เท่ากัน (German, 1994)

ตารางที่ 3.1 ค่าการกระจายตัวของรูพรุนในชิ้นงานทั้ง 3 ขนาด อุบพนีกที่ 900 องศาเซลเซียส เวลา 30 นาที

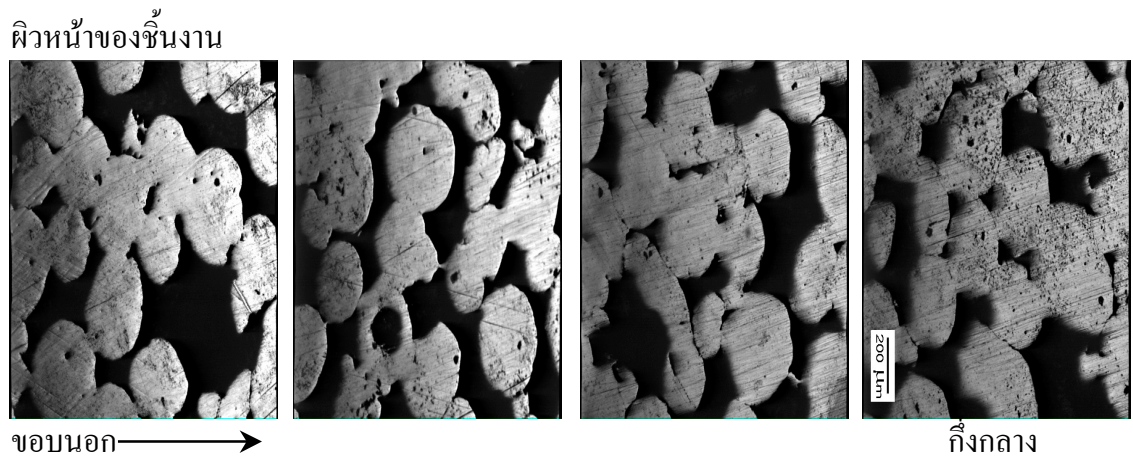
| Average Size | % Pore | % Solid |
|--------------|--------|---------|
| 150 | 8.51 | 91.49 |
| 320 | 24.36 | 75.64 |
| 380 | 30.49 | 69.51 |



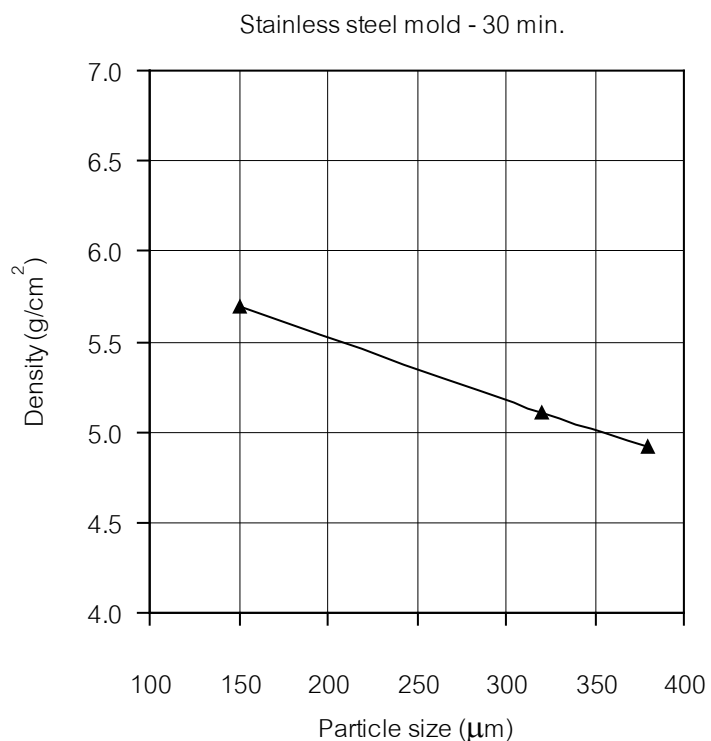
รูปที่ 3.2 การกระจายตัวของรูพรุนในชิ้นงานขนาด 150 ไมโครเมตร อุณหภูมิอุบพนีก 900 องศาเซลเซียส เวลา 30 นาที ที่ผลิตจากแม่พิมพ์เหล็กกล้าไร้สนิม



รูปที่ 3.3 การกระจายตัวของรูพรุนในชิ้นงานขนาด 320 ไมโครเมตร อุณหภูมิอุบพนีก 900 องศาเซลเซียส เวลา 30 นาที ที่ผลิตจากแม่พิมพ์เหล็กกล้าไร้สนิม



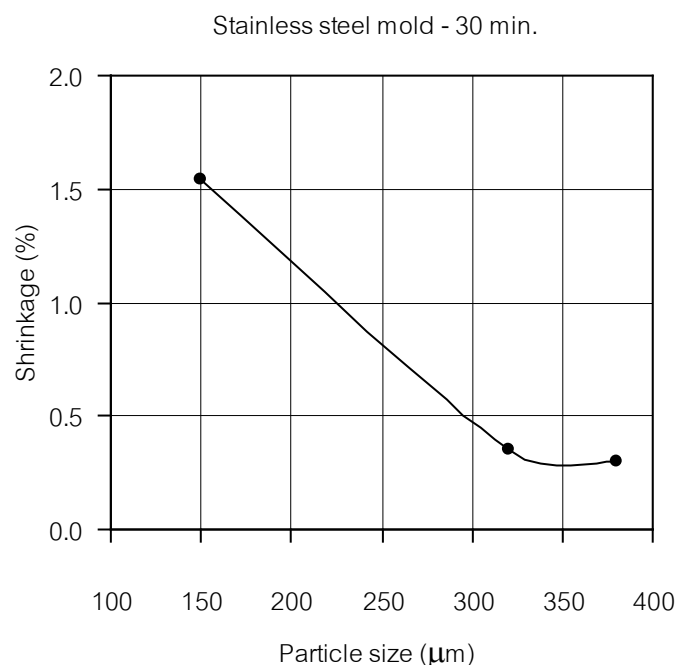
รูปที่ 3.4 การกระจายตัวของรูพรุนในชิ้นงานขนาด 380 ไมโครเมตร อุณหภูมิอบพนึก 900 องศาเซลเซียส เวลา 30 นาที ที่ผลิตจากแม่พิมพ์เหล็กกล้าไร้สนิม



รูปที่ 3.5 ความหนาแน่นของชิ้นงานทั้งสามขนาดที่ผลิตจากแม่พิมพ์เหล็กกล้าไร้สนิม อุณหภูมิอบพนึก 900 องศาเซลเซียส เวลา 30 นาที

3.1.2 อัตราการหดตัว ขนาดของอนุภาคจะส่งผลต่ออัตราการหดตัวของชิ้นงาน เมื่อเปรียบเทียบกันในสภาวะเดียวกันดังรูปที่ 3.6 ชิ้นงานทั้งสามขนาดอบพนึกที่อุณหภูมิ 900 องศาเซลเซียส เป็นเวลา 30 นาที จะเห็นว่าชิ้นงานที่ทำจากอนุภาคขนาด 320 และ 380 ไมโครเมตรมี

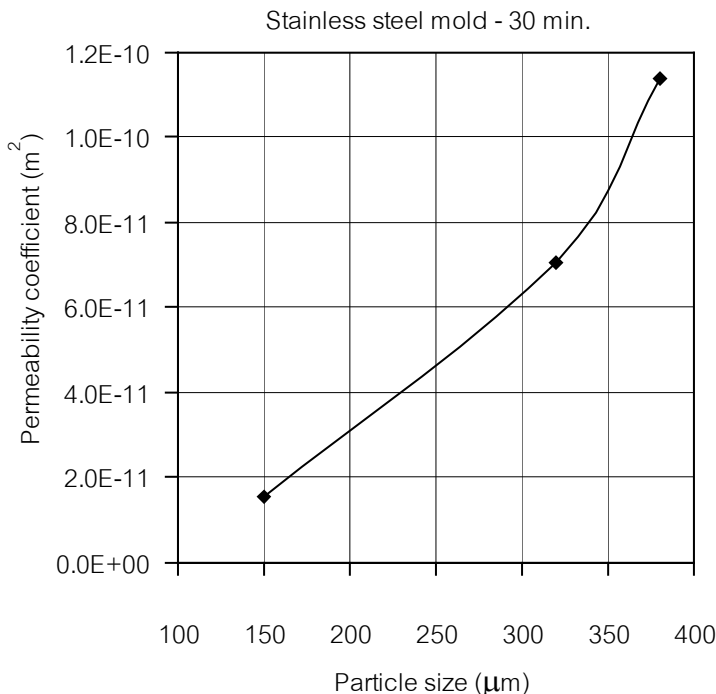
อัตราการหดตัวที่ไกลส์เกียงกัน ส่วนที่ทำจากอนุภาคขนาด 150 ไมโครเมตร จะมีอัตราการหดตัวที่สูงกว่าเนื่องจากการอบพนึกจะแปรตามขนาดของอนุภาค เมื่อขนาดอนุภาคเล็กลงจะให้ผลการอบพนึกเร็วขึ้น อุณหภูมิมีผลมากต่อการอบพนึก ส่วนเวลาจะมีผลน้อยเมื่อเทียบกับอุณหภูมิและขนาดอนุภาคเมื่อมีการ bulk transport มีผลทำให้เกิดการหดตัว (Shrinkage) ซึ่งประมาณได้จากค่าคงตัว (German, 1994)



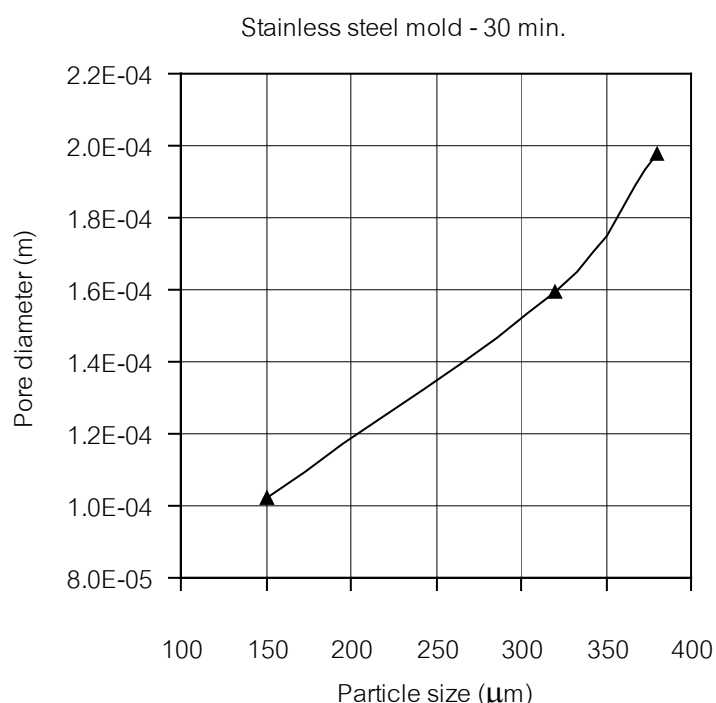
รูปที่ 3.6 อัตราการหดตัวของชิ้นงานทั้งสามขนาดที่ผลิตจากแม่พิมพ์เหล็กกล้าไร้สนิม อุณหภูมิอบพนึก 900 องศาเซลเซียส เวลา 30 นาที

3.1.3 สัมประสิทธิ์การซึมผ่านของอากาศ ขนาดของอนุภาคเป็นปัจจัยที่ส่งผลต่อค่าสัมประสิทธิ์การซึมผ่านของอากาศ ที่เกิดขึ้นกับชิ้นงานโดยตรง จากรูปที่ 3.7 แสดงให้เห็นว่าเมื่อขนาดอนุภาคมีขนาดโตขึ้น ค่าสัมประสิทธิ์การซึมผ่านของอากาศก็จะสูงขึ้นตามเข่นกัน เนื่องจากเมื่ออนุภาคโตขึ้นช่องว่างระหว่างอนุภาคก็โตขึ้น การกระจายของรูพรุนก็มากขึ้นเข่นกัน ซึ่งมีความสัมพันธ์แบบผกผันกับความหนาแน่น

3.1.4 ขนาดของรูพรุนโตสุด ขนาดของรูพรุนโตสุดที่เกิดขึ้นบนชิ้นงานที่ผลิตได้นั้น ได้รับอิทธิพลโดยตรงจากขนาดของผงอนุภาคเข่นเดียวกับสัมประสิทธิ์การซึมผ่าน คือ เมื่อผงอนุภาคโตขึ้นขนาดรูพรุนโตสุดก็จะมีขนาดโตขึ้นด้วยเข่นกัน ดังแสดงในรูปที่ 3.8

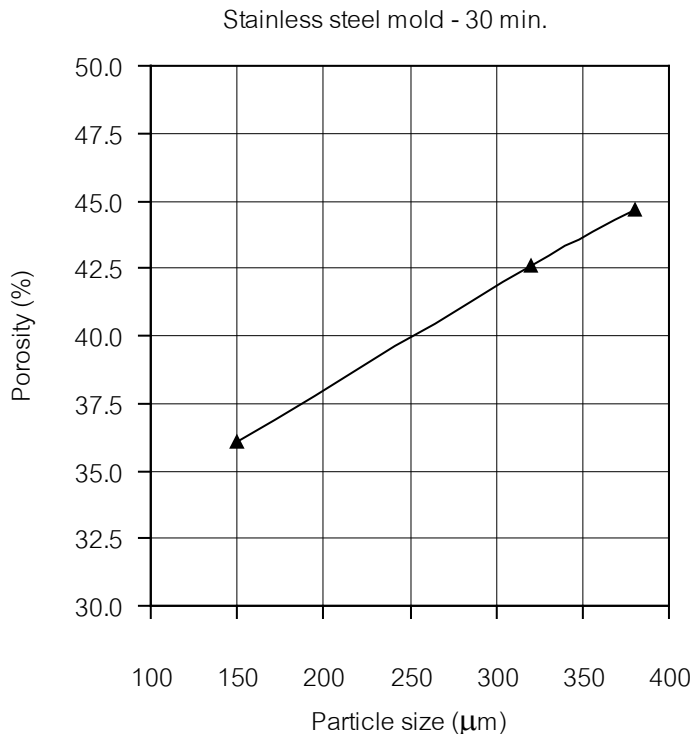


รูปที่ 3.7 ความสามารถในการซึมผ่านของอากาศเปรียบเทียบจากชิ้นงานทั้งสามขนาดอนุภาคที่ผลิตจากแม่พิมพ์เหล็กกล้าไร้สนิม อบผนึกที่อุณหภูมิ 900 องศาเซลเซียส เวลา 30 นาที



รูปที่ 3.8 ขนาดรูพรุนโตสุดเปรียบเทียบจากชิ้นงานทั้งสามขนาดอนุภาคที่ผลิตจากแม่พิมพ์เหล็กกล้าไร้สนิม อบผนึกที่อุณหภูมิ 900 องศาเซลเซียส เวลา 30 นาที

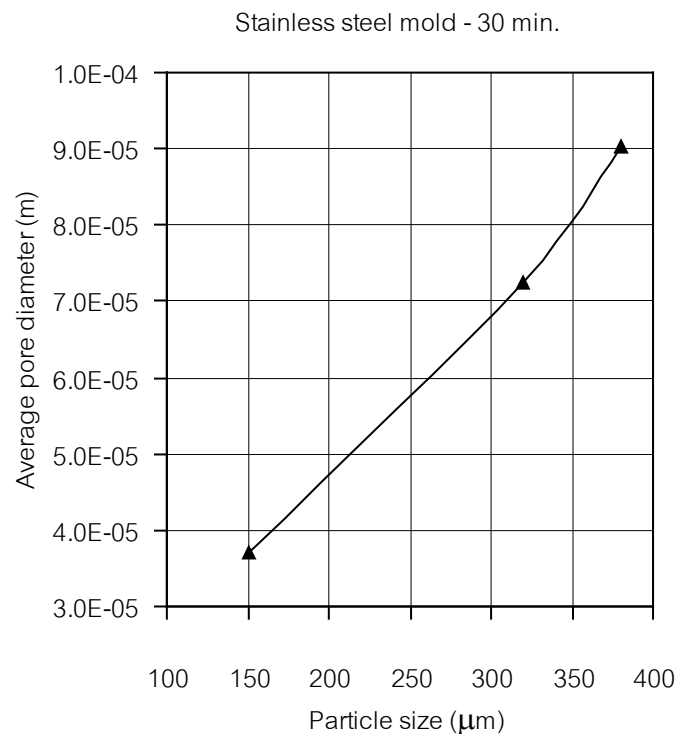
3.1.5 อัตราความพรุน อัตราความพรุนในชิ้นงานที่ผลิตได้นั้นขนาดของอนุภาคจะมีผลโดยตรง จากรูปที่ 3.9 จะเห็นได้ว่าเมื่อผงโลหะมีขนาดโตขึ้นอัตราความพรุนในชิ้นงานที่ผลิตได้ก็เพิ่มขึ้นตามในสัดส่วนที่ค่อนข้างจะคงที่ เนื่องจากเมื่ออนุภาคโตขึ้นช่องว่างของอนุภาคก็โตขึ้น ความพรุนก็มากขึ้น



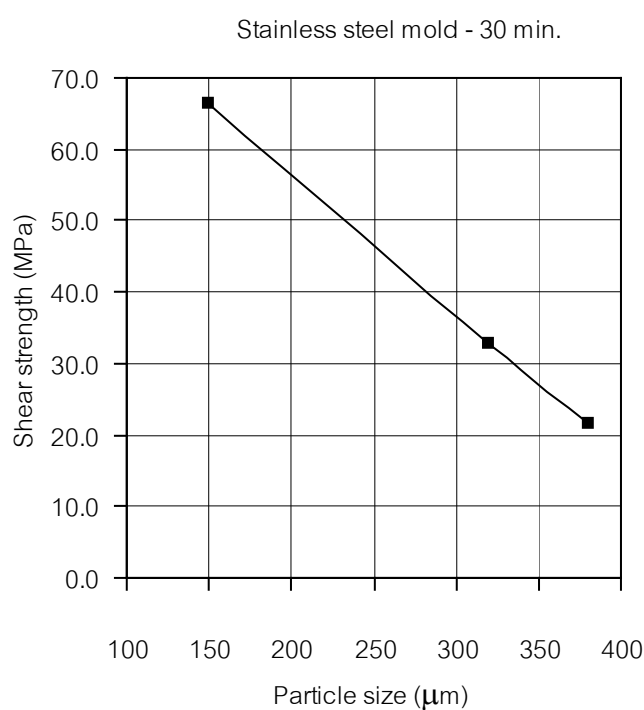
รูปที่ 3.9 อัตราความพรุนเปรียบเทียบจากชิ้นงานทั้งสามขนาดอนุภาคที่ผลิตจากแม่พิมพ์เหล็กกล้าไร้สนิม อบผนึกที่อุณหภูมิ 900 องศาเซลเซียส เวลา 30 นาที

3.1.6 ขนาดของรูพรุนเฉลี่ย ขนาดของรูพรุนเฉลี่ยที่ได้จากการคำนวณเมื่อนำมาเขียนกราฟดังรูปที่ 3.10 จะเห็นได้ว่าขนาดของรูพรุนเฉลี่ยที่เกิดขึ้นบนชิ้นงานที่ผลิตได้นั้น ได้รับอิทธิพลโดยตรงจากขนาดของผงอนุภาค เช่นเดียวกับอัตราความพรุน คือ เมื่อผงอนุภาคโตขึ้นขนาดรูพรุนเฉลี่ยก็จะมีขนาดโตขึ้นในสัดส่วนที่ค่อนข้างจะคงที่ เนื่องจากเมื่ออนุภาคโตขึ้นช่องว่างระหว่างอนุภาคก็โตขึ้น ขนาดรูพรุนก็โตขึ้นเช่นกัน

3.1.7 ความแข็งแรงเฉือน ความแข็งแรงเฉือนของชิ้นงานที่ทำจากผงบรอนซ์ทั้งสามขนาดในสภาวะเดียวกันนั้นจะมีค่าความแข็งแรงเฉือนที่ต่างกันซึ่งมีค่าผกผันกับขนาดอนุภาค เมื่อขนาดอนุภาคโตขึ้นความแข็งแรงจะเริ่มลดลง ผลดัดล้องกับงานวิจัยของ Choi และคณะ (2004) เนื่องจากชิ้นงานที่ทำจากผงขนาดเล็กจะมีความหนาแน่นสูงกว่าชิ้นงานที่ทำจากผงขนาดใหญ่กว่า



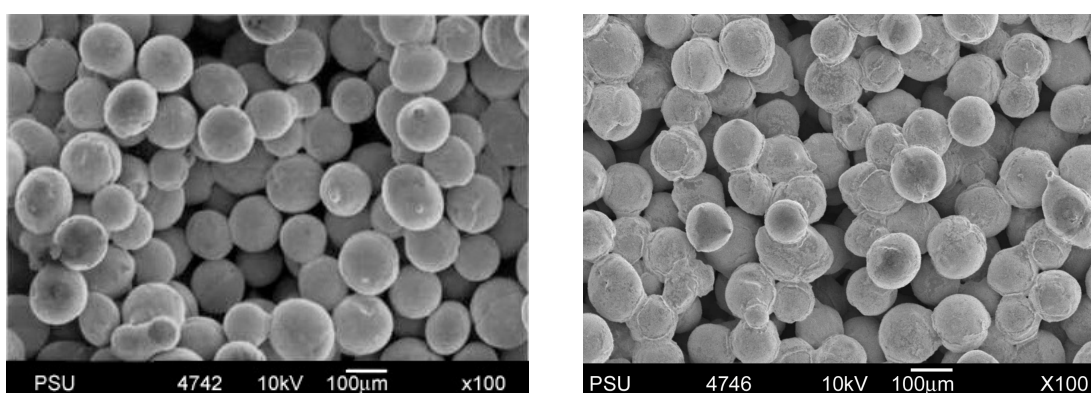
รูปที่ 3.10 ขนาดครุพุนเนลลี่เปรียบเทียบจากขั้นงานทั้งสามขนาดอนุภาคที่ผลิตจากแม่พิมพ์เหล็กกล้าไร้สนิม อบผนึกที่อุณหภูมิ 900 องศาเซลเซียส เวลา 30 นาที



รูปที่ 3.11 ความแข็งแรงเนื้อเปรียบเทียบจากขั้นงานทั้งสามขนาดอนุภาคที่ผลิตจากแม่พิมพ์เหล็กกล้าไร้สนิม อบผนึกที่อุณหภูมิ 900 องศาเซลเซียส เวลา 30 นาที

3.2 อิทธิพลของอุณหภูมิและเวลา

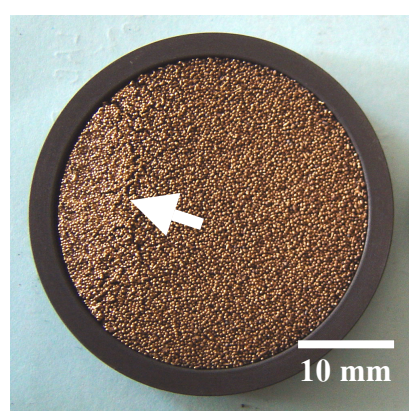
3.2.1 สัณฐานวิทยา (Morphology) ลักษณะของชิ้นงานที่ได้จากผงบรอนซ์ทั้งสามขนาด จะมีความแตกต่างกันอย่างเห็นได้ชัด เมื่อวิเคราะห์ภาพถ่าย SEM จากรูปที่ 3.12 พบว่า ชิ้นงานที่ทำจากผงขนาด 150 ไมโครเมตร ซึ่งสามารถอบพนิกได้ที่อุณหภูมิ 850 และ 900 องศาเซลเซียส ได้แสดงให้เห็นว่าที่อุณหภูมิ 900 องศาเซลเซียส เกิดการ over sintering ขึ้นเมื่อเทียบกับที่อุณหภูมิ 850 องศาเซลเซียส ทั้งนี้เนื่องจากการอบพนิกจะเกิดขึ้นได้เร็วเมื่ออุณหภูมิสูงขึ้น เพราะเพิ่มจำนวนอะตอมที่ถูกกระตุ้น และ available site ขณะอบพนิกจะทำให้พื้นที่ผิวลดลงอย่างรวดเร็ว



(ก) อุณหภูมิ 850 องศาเซลเซียส (ข) อุณหภูมิ 900 องศาเซลเซียส

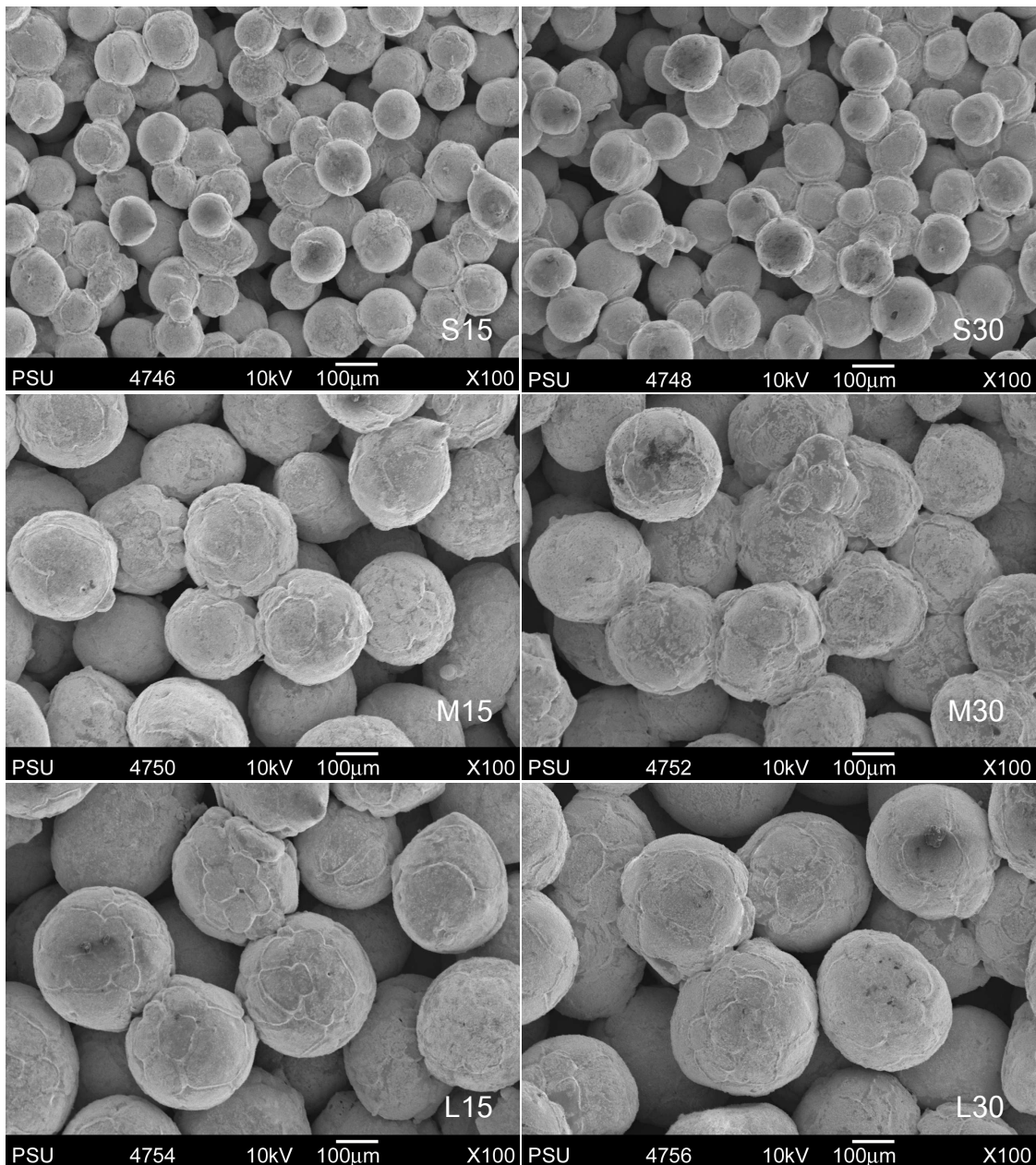
รูปที่ 3.12 ภาพ SEM เปรียบเทียบชิ้นขนาดอนุภาค 150 ไมโครเมตร

อบพนิกที่อุณหภูมิต่างกัน เวลา 15 นาที



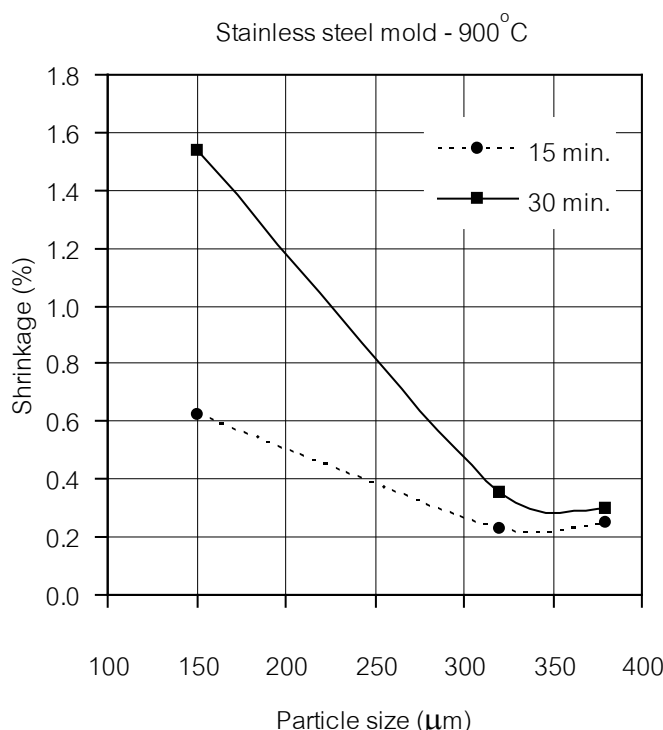
รูปที่ 3.13 ชิ้นงานที่เกิดการหลอมตัวของอนุภาคที่อุณหภูมิสูง

เมื่อเปรียบเทียบชิ้นงานที่ผลิตจากผงบรอนซ์ทั้งสามขนาด อบพนีกที่อุณหภูมิเดียวกันแต่กันที่เวลาในการอบพนีก จะเห็นได้ว่าผงบรอนซ์จะเริ่มหลอมติดกันมากขึ้น ดังรูปที่ 3.14



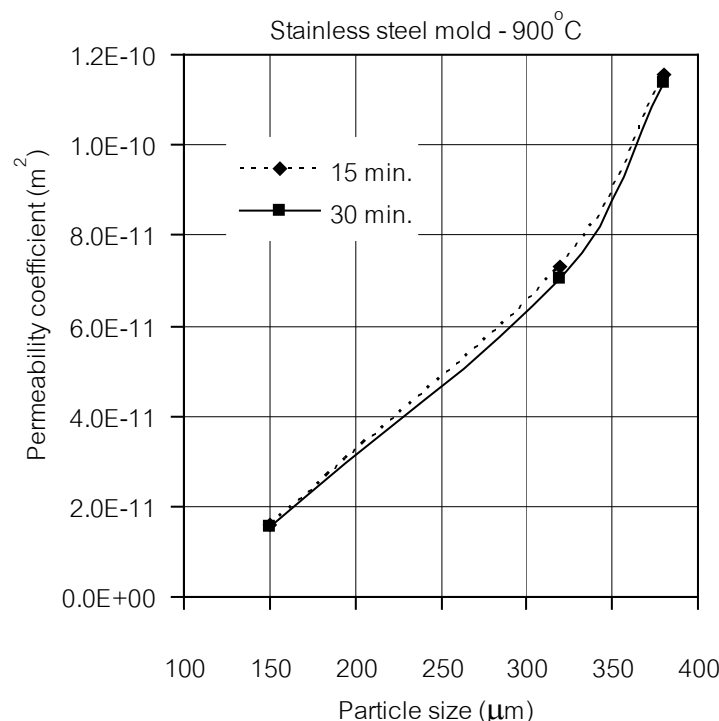
ภาพที่ 3.14 ภาพ SEM ของชิ้นงานทั้งสามขนาด เผาที่อุณหภูมิ 900 องศาเซลเซียส เวลาเผาเชื้อ 15 นาที (S15, M15, L15) และเวลาเผาเชื้อ 30 นาที (S30, M30, L30)

3.2.2 อัตราการหดตัว อุณหภูมิและเวลา มีอิทธิพลต่ออัตราการหดตัว เมื่อให้อุณหภูมิสูงขึ้นอนุภาคจะหลอมติดกันมากขึ้น ดังคำกล่าวของ German (1994) “ในทุกกรณีการอบพนีกขึ้นกับอุณหภูมิในรูปເອົກສ້າໄປແນເຊີບລ ຜົ່ງໝາຍດືກເປົ້າມີການປັບປຸງແປ່ງອຸນຫຼຸມພຶກຢູ່ເກີນນ້ອຍສ່າງພຸດກະທບອ່າງສູງຕ່ອງການອົບພනິກ” และ “การอบພනິກເປັນເວລານານທຳໃຫ້ມີການປັບປຸງແປ່ງສົມບັດທີ່ຂອງຄວາມໜາແນ່ນຂອງໜຶ່ງນາງຍ່າງມີນັຍສຳຄັນ ທັງອັດຕະການແພວ່າ ກາຣໂຕຂອງເກຣນ ແລະກາຣເຄລື່ອນທີ່ຂອງຮູ່ພຽງຕ່າງເປັນກະບວນກາຈີກະຕຸ້ນໄດ້ດ້ວຍຄວາມຮ້ອນ ວັດຖຸສ່ວນໃໝ່ອັດຕະກາເລ່ານີ້ຢັ້ງຂຶ້ນຂອງຢູ່ກັບຮູ່ປ່າງແລະລັກຊະນະເຂົາພາະ (ເຊັ່ນ ຂາດເກຣນ ຂາດຮູ່ພຽງ ແລະຮະບະໜ່າງຮູ່ພຽງ) ເນື່ອຈາກໂຄຮງສ້າງຈຸລກາຄມີການປັບປຸງແປ່ງອຸນຫຼຸມຈີງມີພຸດກະທບທີ່ໜັບຫຼັອນຕ່ອງກະບວນກາຈົບພනິກ” รูปที่ 3.15 แสดงให้เห็นว่าอนุภาคขนาดเล็กจะหดตัวได้มากเมื่อเพิ่มเวลาในการอบพนีก



รูปที่ 3.15 อัตราการหดตัวของໜຶ່ງນາງທັງສາມນາດທີ່ພຸດຈາກແມ່ພິມພໍເກີດກຳໄຮສະນິມອຸນຫຼຸມອົບພනິກ 900 ອົງສາເໜີລເຫັນທີ່ເວລາອົບພනິກ 15 ແລະ 30 ນາທີ

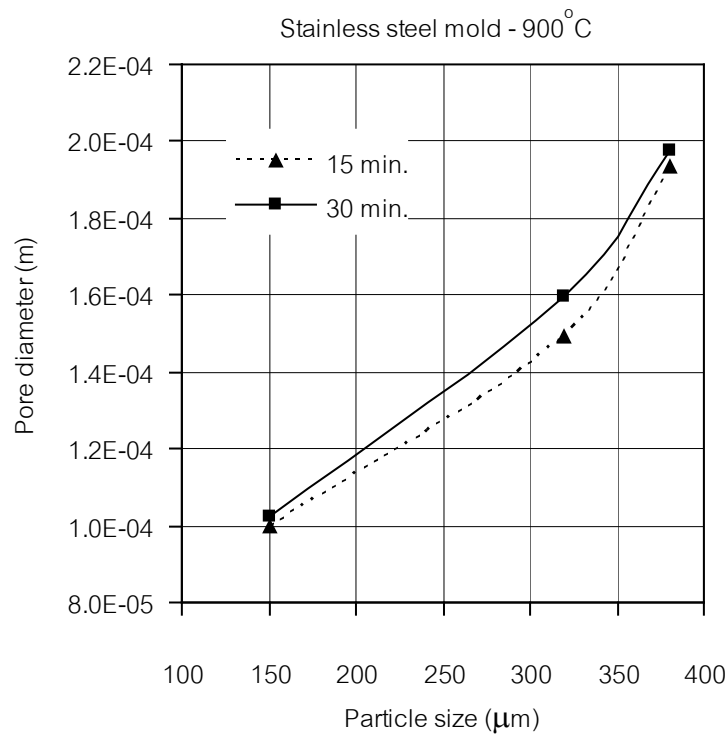
3.2.3 สัมประสิทธิ์การซึมผ่านของอากาศ เวลาที่ใช้ในการอบพนีกไม่เป็นปัจจัยที่ส่งผลต่อค่าสัมประสิทธิ์การซึมผ่านของอากาศที่เกิดขึ้นกับชิ้นงานโดยตรง รูปที่ 3.16 แสดงให้เห็นว่าเมื่อเพิ่มเวลาให้มากขึ้น ค่าสัมประสิทธิ์การซึมผ่านของอากาศไม่ได้แตกต่างกันมากนัก



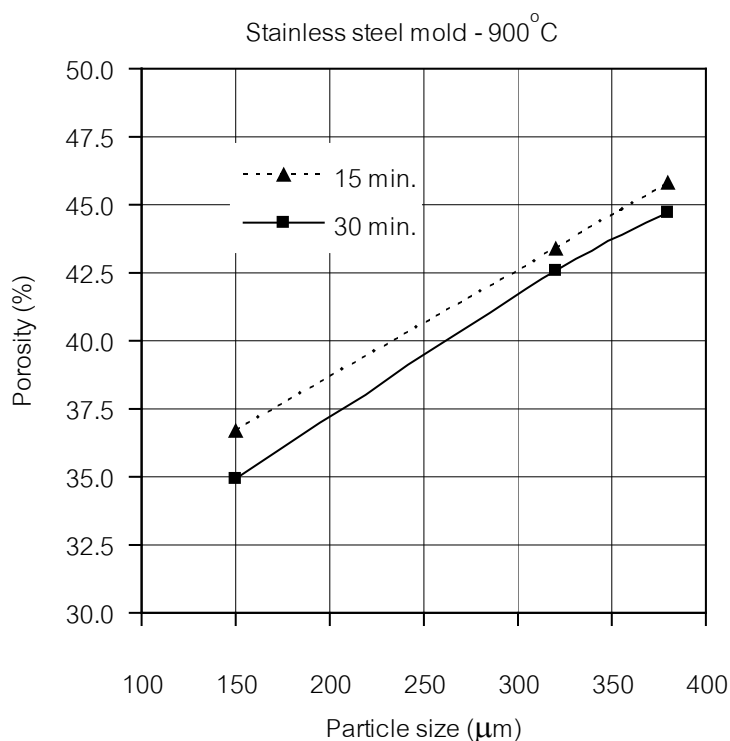
รูปที่ 3.16 ความสามารถในการซึมผ่านของอากาศเปรียบเทียบจากชิ้นงานทั้งสามขนาดที่ผลิตจากแม่พิมพ์เหล็กกล้าไร้สนิม อบพนีกที่อุณหภูมิ 900 องศาเซลเซียส เวลา 15 และ 30 นาที

3.2.4 ขนาดรูรูนโตสุด เวลาที่ใช้ในการอบพนีกมีผลกระทบต่อขนาดของรูรูนโตสุด ที่เกิดขึ้นบนชิ้นงานไม่มากนัก จากรูปที่ 3.17 เมื่อเพิ่มเวลาให้มากขึ้นขนาดรูรูนโตสุดก็จะมีขนาดโตขึ้นเล็กน้อย

3.2.5 อัตราความพรุน เวลาที่ใช้ในการอบพนีกส่งผลเล็กน้อยต่ออัตราความพรุนในชิ้นงานที่ผลิตได้ รูปที่ 3.18 แสดงให้เห็นได้ว่าเมื่อเพิ่มเวลาในการอบพนีกให้นานขึ้น อัตราความพรุนในชิ้นงานที่ผลิตได้ก็ลดลงตามในสัดส่วนที่ค่อนข้างจะคงที่ และมีแนวโน้มไปในทิศทางเดียวกัน



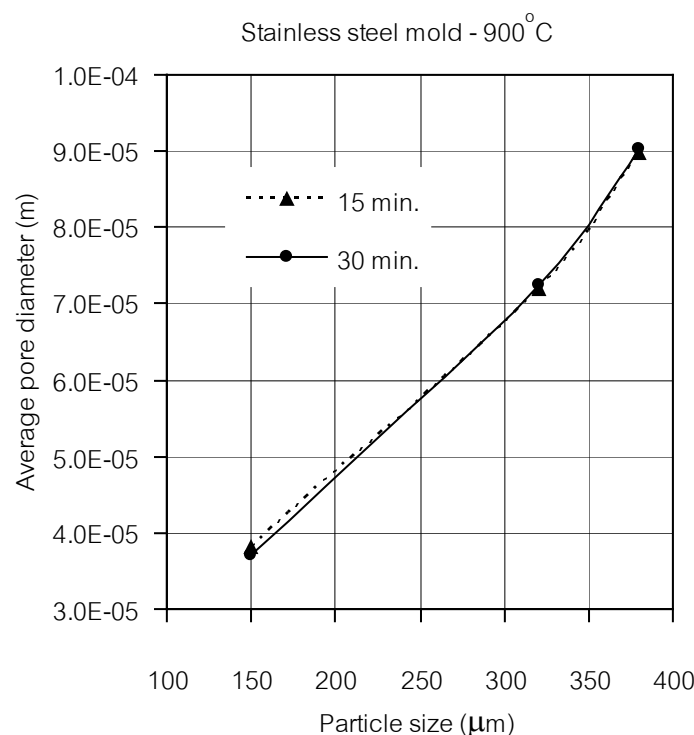
รูปที่ 3.17 ขนาดรูพรุน トイสุดเปรียบเทียบจากชิ้นงานหั่นสามขนาดที่ผลิตจากแม่พิมพ์เหล็กกล้าไร้สนิม อบผนังก่ออุณหภูมิ 900 องศาเซลเซียสเวลา 15 และ 30 นาที



รูปที่ 3.18 อัตราความพรุนเปรียบเทียบจากชิ้นงานหั่นสามขนาดที่ผลิตจากแม่พิมพ์เหล็กกล้าไร้สนิม

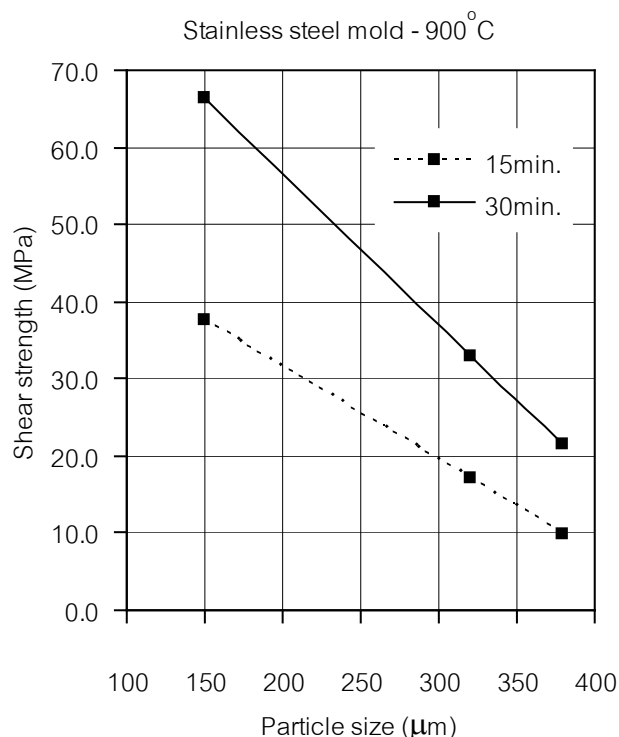
อบผนึกที่อุณหภูมิ 900 องศาเซลเซียส เวลา 15 และ 30 นาที

3.2.6 ขนาดของรูพรุนเฉลี่ย ที่ได้จากการคำนวณเมื่อนำมาเขียนกราฟดังรูปที่ 3.19 จะเห็นว่าเวลาที่ใช้ในการอบผนึกไม่ได้ส่งผลต่อขนาดของรูพรุนเฉลี่ยที่เกิดขึ้นบนชิ้นงานที่ผลิตได้



รูปที่ 3.19 ขนาดรูพรุนเฉลี่ยเปรียบเทียบจากชิ้นงานทั้งสามขนาดที่ผลิตจากแม่พิมพ์เหล็กกล้าไร้สนิม อบผนึกที่อุณหภูมิ 900 องศาเซลเซียส เวลา 15 และ 30 นาที

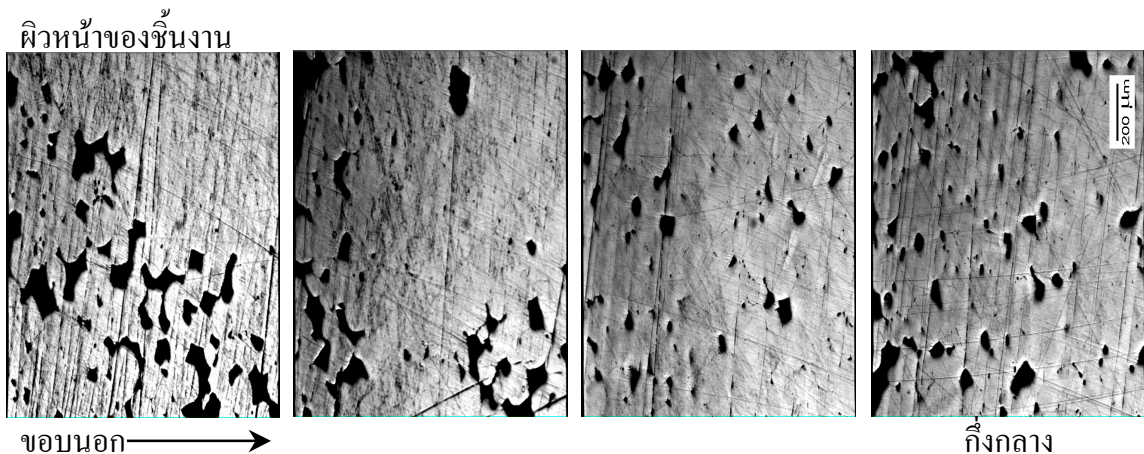
3.2.7 ความแข็งแรงเฉือน ค่าความแข็งแรงเฉือนของชิ้นงานที่ทำจากผงบรอนซ์ทั้งสามขนาดเมื่ออบผนึกที่อุณหภูมิเดียวกันแต่เวลาที่ใช้ต่างกันจะมีค่าความแข็งแรงเชิงกลที่ต่างกันเนื่องจากเวลาที่นานขึ้นจะทำให้ผงบรอนซ์เริ่มหลอดuctิกันมากขึ้น มีพันธะการเกาะติดที่แน่นขึ้นซึ่งตรงกับคำกล่าวของ German (1994) “ถ้าต้องการให้สมบัติ และความหนาแน่นเปลี่ยน ต้องอบผนึกเป็นเวลานานซึ่งกลไกต่างๆ นี้เป็นกระบวนการกระตุ้นด้วยอุณหภูมิกิจที่ (Thermally activated processes) (เช่น อัตราการแพร่, การโตของเกรน และการเคลื่อนที่ของรูพรุน)” ดังนั้นจึงทำให้ชิ้นงานมีความแข็งแรงมากขึ้นดังรูปที่ 3.20



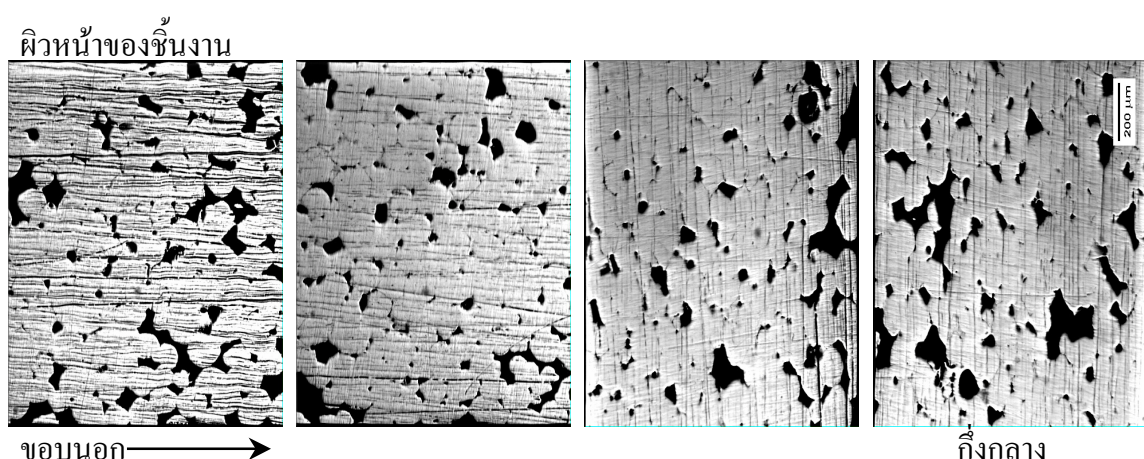
รูปที่ 3.20 ความแข็งแรงเนื้อเยื่อบริบูรณ์เทียบจากชิ้นงานทั้งสามขนาดที่ผลิตจากแม่พิมพ์เหล็กกล้า
ไร์สันิม อบผนึกที่อุณหภูมิ 900 องศาเซลเซียส เวลา 30 นาที

3.3 อิทธิพลของแม่พิมพ์

3.3.1 สัณฐานวิทยา (Morphology) ลักษณะของชิ้นงานที่ได้จากแม่พิมพ์ทั้งสองชนิด จะมีความแตกต่างกันอย่างเห็นได้ชัด เมื่อวิเคราะห์ภาพการกระจายของรูพรุนในชิ้นงานที่ทำจากผงอนุภาคขนาด 150 μm โดยเมตริก อบผนึกที่สภาวะเดียวกันแต่ใช้แม่พิมพ์ต่างกัน (รูปที่ 3.21 และ 3.22) ซึ่งพบว่าชิ้นงานที่ทำจากแม่พิมพ์กราไฟต์มีการกระจายตัวของรูพรุนที่สม่ำเสมอกว่า เมื่อคุณที่บริเวณผิวชิ้นงานที่สัมผัสกับแม่พิมพ์เหล็กกล้าไร์สันิมพบว่าชิ้นงานจะมีความแน่นตัวสูงกว่าชิ้นงานที่ผลิตในแม่พิมพ์กราไฟต์ นอกจากนี้ชิ้นงานจากแม่พิมพ์เหล็กกล้าไร์สันิมจะติดกับแม่พิมพ์และแยกออกจากแม่พิมพ์ได้ยากกว่าชิ้นงานที่ผลิตจากแม่พิมพ์กราไฟต์ ทั้งนี้เนื่องมาจากการแม่พิมพ์เหล็กกล้าไร์สันิมซึ่งเป็นโลหะจะเกิดการสะสมความร้อน และเกิดการแพร่ระหัวงแม่พิมพ์และผงbronze สัดส่วนของรูพรุนชิ้นงานจากแม่พิมพ์กราไฟต์จะมีมากกว่าชิ้นงานที่ทำจากแม่พิมพ์เหล็กกล้าไร์สันิม ดังตารางที่ 3.2



รูปที่ 3.21 การกระจายตัวของรูพรุนในชิ้นงานขนาด 150 นาโนเมตร ผลิตจากแม่พิมพ์เหล็กกล้าไร้สนิม อุณหภูมิอบพนึก 900 องศาเซลเซียส เวลา 30 นาที



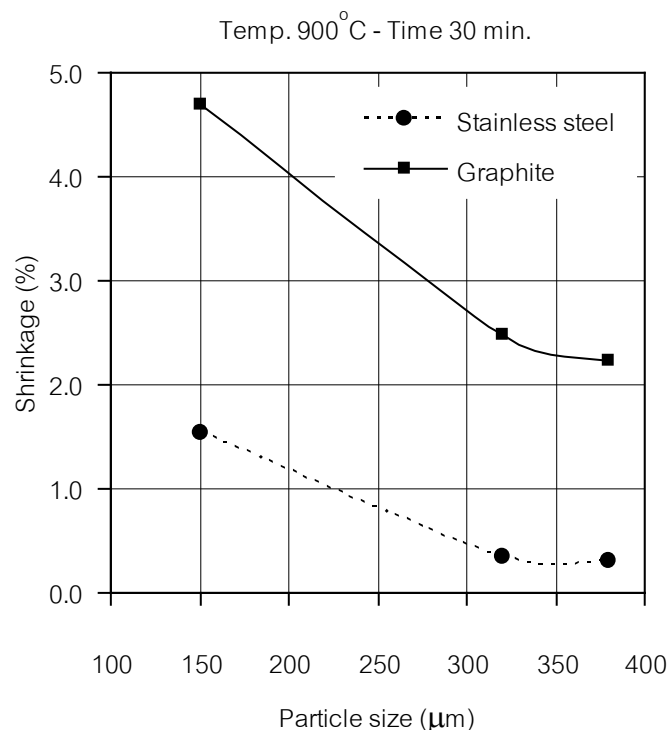
รูปที่ 3.22 การกระจายตัวของรูพรุนในชิ้นงานขนาด 150 นาโนเมตร ผลิตจากแม่พิมพ์กราไฟต์ อุณหภูมิอบพนึก 900 องศาเซลเซียส เวลา 30 นาที

ตารางที่ 3.2 ค่าการกระจายตัวของรูพรุนในชิ้นงานจากผงขนาด 150 นาโนเมตร อุณหภูมิอบพนึก 900 องศาเซลเซียส เป็นเวลา 30 นาที เปรียบเทียบจากแม่พิมพ์เหล็กกล้าไร้สนิมและแม่พิมพ์กราไฟต์

| Average Mold | % Pore | % Solid |
|-----------------|--------|---------|
| Stainless steel | 8.51 | 91.49 |
| Graphite | 18.05 | 81.95 |

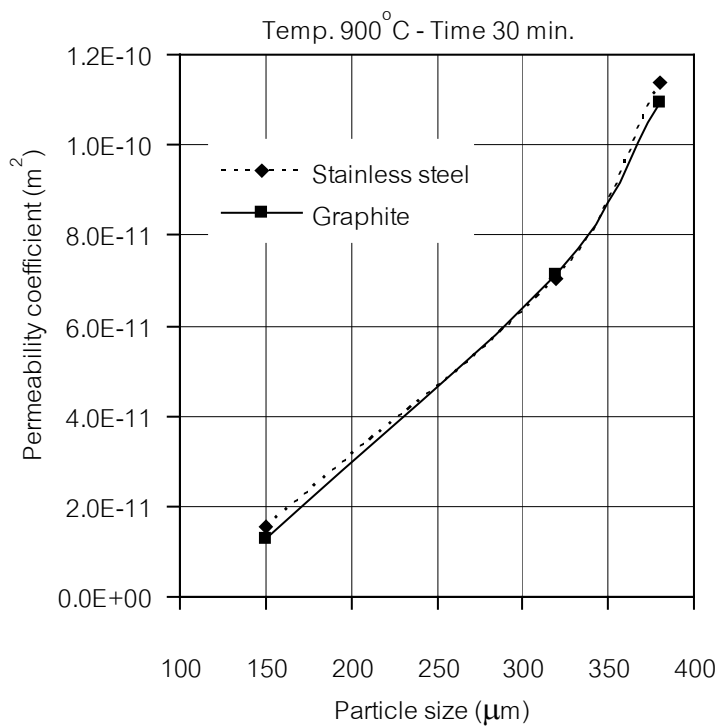
3.3.2 อัตราการหดตัว ชิ้นงานที่ได้จากแม่พิมพ์กราไฟต์จะมีค่าอัตราการหดตัวที่สูงกว่าชิ้นงานที่ได้จากแม่พิมพ์เหล็กกล้าไร้สนิม (รูปที่ 3.23) เนื่องจากกราไฟต์เป็นวัสดุที่มีค่าการนำความร้อนที่สูงกว่าเหล็กกล้าไร้สนิม ดังนั้นแม่พิมพ์กราไฟต์จึงสามารถถ่ายผ่านความร้อนไปยังผงบรรอนช์ได้ดีกว่าแม่พิมพ์เหล็กกล้าไร้สนิม ส่งผลให้ชิ้นงานที่ผลิตได้ในแม่พิมพ์กราไฟต์มีอัตราการหดตัวสูงกว่าชิ้นงานที่ผลิตจากแม่พิมพ์เหล็กกล้าไร้สนิม

3.3.3 สัมประสิทธิ์การซึมผ่านของอากาศ ชนิดของแม่พิมพ์ไม่ส่งผลต่อค่าสัมประสิทธิ์การซึมผ่านของอากาศที่เกิดขึ้นกับชิ้นงานโดยตรง จากรูปที่ 3.24 แสดงให้เห็นว่าค่าสัมประสิทธิ์การซึมผ่านของอากาศในชิ้นงานทั้งสามขนาดที่ผลิตจากแม่พิมพ์ทั้งสองมีค่าที่ไม่แตกต่างกัน และมีแนวโน้มที่คล้ายกัน

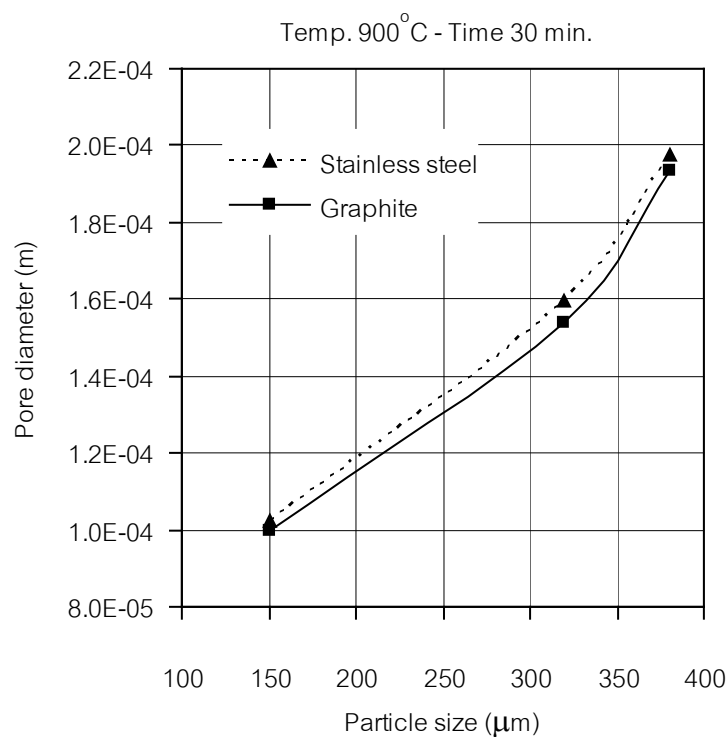


รูปที่ 3.23 อัตราการหดตัวของชิ้นงานทั้งสามขนาด อบผนกที่อุณหภูมิ 900 องศาเซลเซียส เวลา 30 นาที เปรียบเทียบระหว่างแม่พิมพ์เหล็กกล้าไร้สนิม และแม่พิมพ์กราไฟต์

3.3.4 ขนาดรูพรุนโตสุด ชนิดของแม่พิมพ์ไม่ได้ส่งผลกระทบต่องrade ของรูพรุน トイสุดที่เกิดขึ้นบนชิ้นงานที่ผลิตได้นั้น ในรูปที่ 3.25 แสดงให้เห็นว่าชิ้นงานที่ได้จากแม่พิมพ์เหล็กกล้าไร้สนิมจะมีขนาดโตกว่าชิ้นงานที่ได้จากแม่พิมพ์กราไฟต์



รูปที่ 3.24 เปรียบเทียบความสามารถในการซึมผ่านของอากาศในชิ้นงานหั่นสามขนาดระหว่างแม่พิมพ์เหล็กกล้าไร้สนิม และแม่พิมพ์กราไฟต์

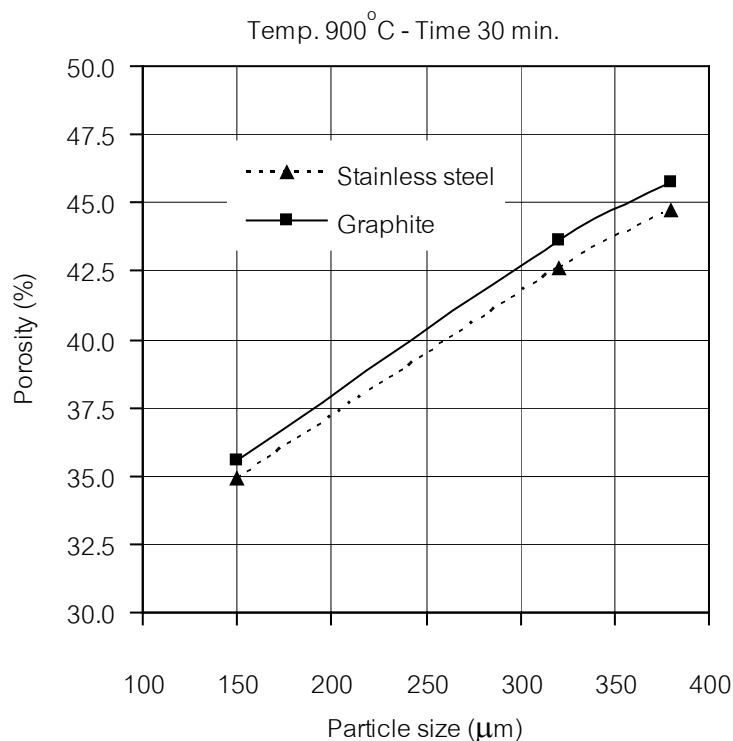


รูปที่ 3.25 ขนาดรูพรุน โตสุดเปรียบเทียบจากชิ้นงานหั่นสามขนาดอนุภาคที่ผลิตจากแม่พิมพ์เหล็กกล้าไร้สนิม และแม่พิมพ์กราไฟต์

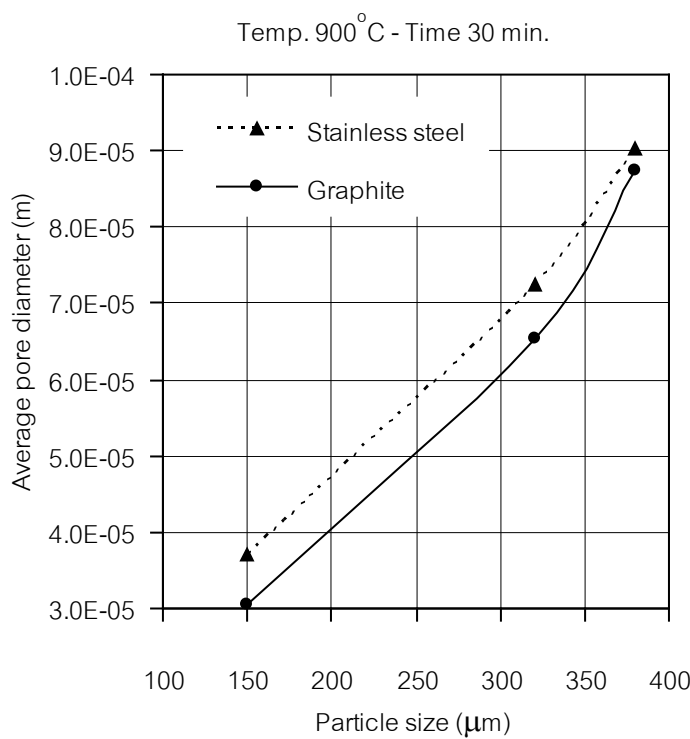
3.3.5 อัตราความพรุน ในชิ้นงานที่ผลิตได้นั้นไม่ได้เปลี่ยนแปลงตามชนิดของแม่พิมพ์ ดังรูปที่ 3.26 จะเห็นได้ว่าอัตราความพรุนจากแม่พิมพ์ทั้งสองชนิดมีค่าใกล้เคียงกันมาก และมีแนวโน้มของเส้นกราฟไปในรูปแบบเดียวกัน

3.3.6 ขนาดของรูพรุนเฉลี่ย ที่ได้จากการคำนวณเมื่อนำมาเขียนกราฟดังรูปที่ 3.27 จะเห็นได้ว่าขนาดของรูพรุนเฉลี่ยที่เกิดขึ้นบนชิ้นงานที่ผลิตได้นั้น ได้รับอิทธิพลโดยตรงจากชนิดของแม่พิมพ์ ในแม่พิมพ์เหล็กกล้าไร้สนิมมีค่าเฉลี่ยรูพรุนที่สูงกว่าชิ้นงานที่ทำได้จากแม่พิมพ์ grahite เนื่องจากคุณลักษณะของ grahite เป็นวัสดุที่นำความร้อนได้ดีและส่งผ่านความร้อนไปยังผงบรรอนซ์ได้ทั่วถึงทำให้ชิ้นงานมีการหดตัวที่สม่ำเสมอ ทำให้ได้รูพรุนที่สม่ำเสมอทั้งชิ้นงาน

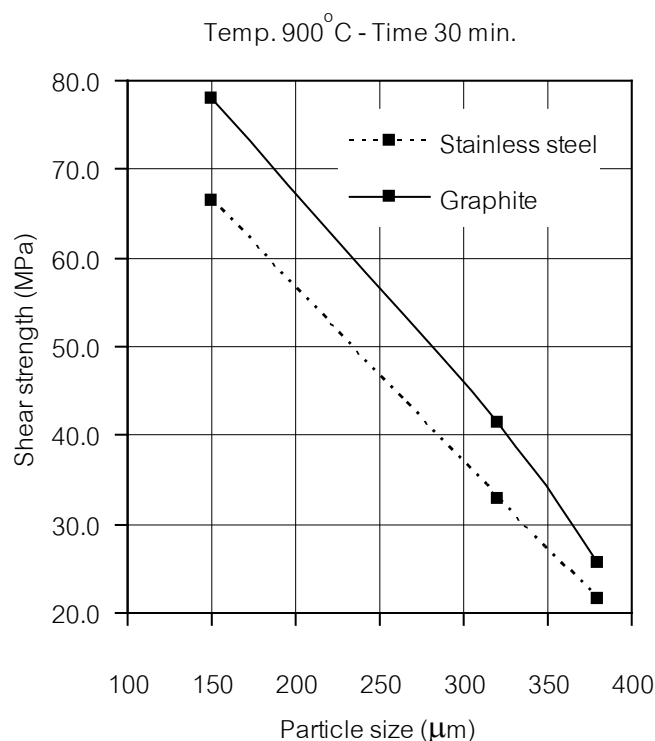
3.3.7 ความแข็งแรงเฉือน ของชิ้นงานที่ทำการผงบรรอนซ์ทั้งสามขนาดที่ผลิตในสภาวะเดียวกันนั้น อิทธิพลของแม่พิมพ์ส่งผลกระทบกับค่าความแข็งแรงเชิงกลโดยตรง ชิ้นงานที่ผลิตได้จากแม่พิมพ์ grahite จะมีค่าความแข็งแรงเชิงกลที่สูงกว่าชิ้นงานที่ผลิตจากแม่พิมพ์เหล็กกล้าไร้สนิม ดังแสดงในรูปที่ 3.28 เนื่องจากชิ้นงานในแม่พิมพ์ grahite มีอัตราการหดตัวสูงกว่าชิ้นงานจากแม่พิมพ์เหล็กกล้าไร้สนิม



รูปที่ 3.26 อัตราความพรุนเปรียบเทียบจากชิ้นงานทั้งสามขนาดอนุภาคที่ผลิตจากแม่พิมพ์เหล็กกล้าไร้สนิม และแม่พิมพ์ grahite



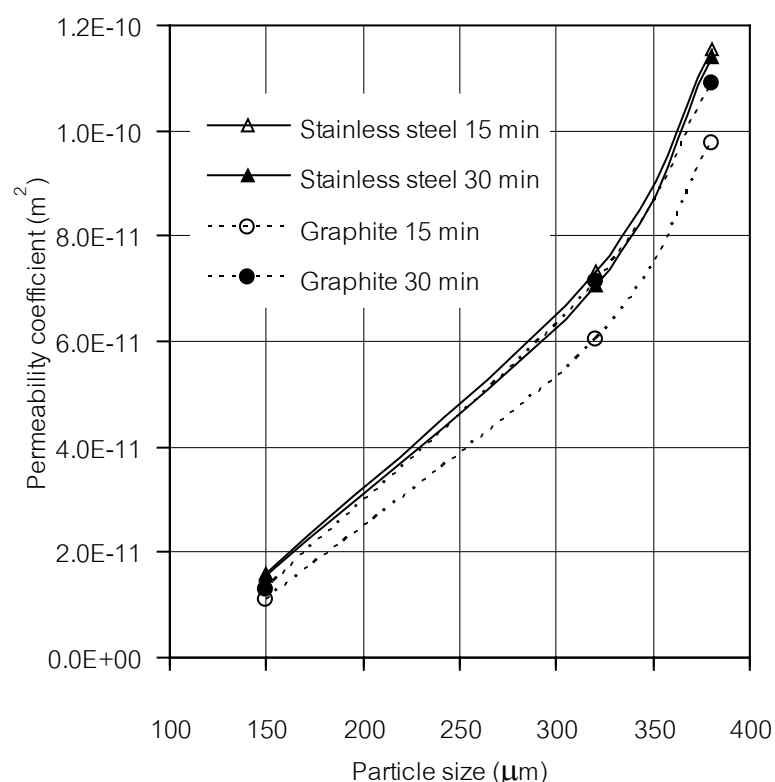
รูปที่ 3.27 ขนาดครุพุนเนลลี่เปรียบเทียบจากชิ้นงานหั่งสามขนาดอนุภาคที่ผลิตจากแม่พิมพ์เหล็กกล้าไร้สนิม และแม่พิมพ์กราไฟต์



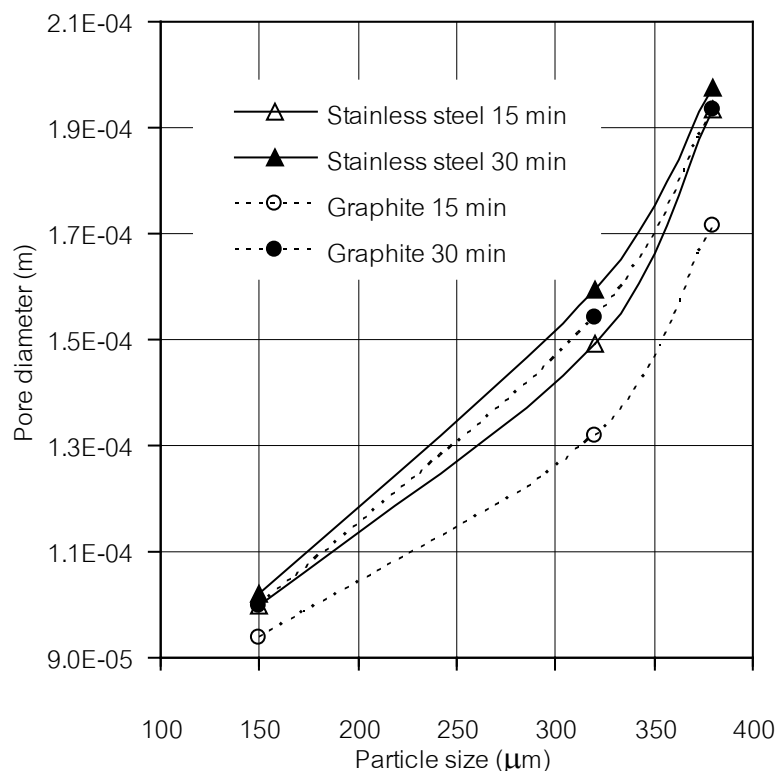
รูปที่ 3.28 ความแข็งแรงเชิงกลเปรียบเทียบจากชิ้นงานหั่งสามขนาดอนุภาคที่ผลิตจากแม่พิมพ์เหล็กกล้าไร้สนิม และแม่พิมพ์กราไฟต์

การทดลองแสดงให้เห็นว่า ขนาดของอนุภาคจะมีอิทธิพลอย่างมากต่อสมบัติของโลหะบรรอนซ์พรุนที่ผลิตได้ ซึ่งบรรอนซ์ที่มีขนาดอนุภาคโตจะต้องใช้อุณหภูมิในการอบผนึกที่สูงกว่าบรรอนซ์ที่มีขนาดอนุภาคเล็กกว่า ทั้งนี้เนื่องจากอนุภาคขนาดใหญ่มีพื้นที่ผิวสัมผัสระหว่างอนุภาคน้อยกว่าและอนุภาคขนาดเล็กสามารถตอบสนองได้เร็วกว่าขนาดโต เนื่องจากจะเกิดการแพร่ที่ผิว (Surface diffusion) และการแพร่ที่ขอบกราน (Grain boundary diffusion) ได้ง่ายกว่าอนุภาคที่มีขนาดโต

ปัจจัยที่มีอิทธิพลโดยตรงต่อค่าสัมประสิทธิ์การซึมผ่านของอากาศ และขนาดของรูพรุนในตัวกรองที่ผลิตได้นั้น ได้แก่ขนาดของบรรอนซ์ที่ใช้ในการผลิต ดังแสดงในรูปที่ 3.29 และ 3.30 ซึ่งแสดงภาพรวมของผลการทดลองที่ได้ และผลที่ได้นี้จะตรงกับการรายงานการวิจัยที่ได้กล่าวไว้ในตอนต้นของ Choi และคณะ (2004) “การเปลี่ยนขนาดผงวัสดุเป็นวิธีการที่ได้ผลที่สุด เมื่อต้องการควบคุมขนาดรูพรุนของตัวกรอง” และผลการทดลองของ Heikkinen และ Harley (2000) ที่กล่าวว่า “การซึมผ่านของอนุภาคจะลดลงเมื่อขนาดรูพรุนลดลงในขณะที่ความหนาเท่ากัน”



รูปที่ 3.29 เปรียบเทียบค่าสัมประสิทธิ์การซึมผ่านของชิ้นงานทั้งสามขนาดในแม่พิมพ์ทั้งสองชนิด อุณหภูมิอบผนึก 900 องศาเซลเซียส เวลาอบผนึก 15 และ 30 นาที

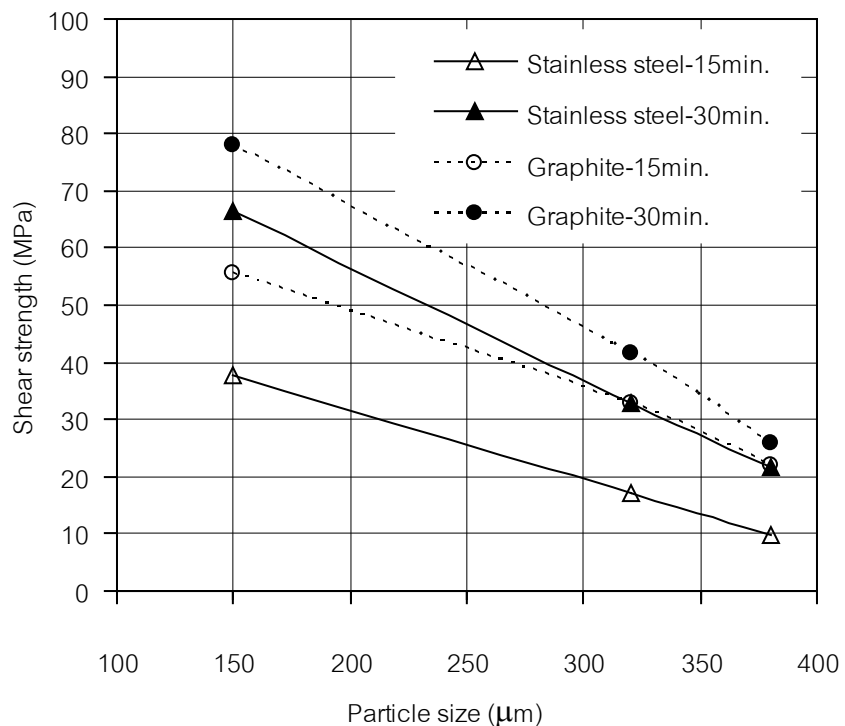


รูปที่ 3.30 เมริยบเทียบค่ารูพรุนโดยสุดของชิ้นงานทั้งสามขนาดในแม่พิมพ์หั้งสองชนิด อุณหภูมิอบผนึก 900 องศาเซลเซียส เวลาอบผนึก 15 และ 30 นาที

ค่าความแข็งแรงเชิงกลของชิ้นงานบรรอนซ์พรุนที่ผลิตได้จะได้รับอิทธิพลโดยตรงจากการเปลี่ยนแปลงขนาดของอนุภาค ส่วนเวลาในการอบผนึกและชนิดของแม่พิมพ์เป็นปัจจัยรองลงมา ซึ่งมีความคล้ายคลึงกับผลการวิจัยของ Choi และคณะ (2004) ที่ว่า “การเพิ่มขนาดของผงโลหะที่มีปิดจำกัด เช่น กันเนีย ออกจากขนาดที่ใหญ่ของอนุภาคนั้นจะมีพื้นที่สัมผัสระหว่างอนุภาคที่ลดลง จึงส่งผลให้ตัวกรองแตกหัก” และงานวิจัยของ Wang และคณะ (2001) “จะเป็นการลดลงเชิงเส้นของความเค้นครากเมื่อความพรุนในชิ้นงานเพิ่มขึ้น” ดังแสดงในรูปที่ 3.31 ลักษณะชิ้นงานที่ผ่านการทดสอบแรงเฉือนแสดงดังรูปที่ 3.32

การทดสอบแรงเฉือนให้เห็นว่าขนาดอนุภาค เวลาในการอบผนึก และชนิดของแม่พิมพ์มีอิทธิพลต่ออัตราการทดสอบของชิ้นงานที่ผลิตได้ ซึ่งชิ้นงานที่ได้จากแม่พิมพ์กราไฟต์ที่เวลาอบผนึก 30 นาที จะมีอัตราการทดสอบมากที่สุด ดังรูปที่ 3.33 ทั้งนี้เนื่องจากแม่พิมพ์กราไฟต์มีสมบัติการเป็นตัวนำความร้อนที่ดี และยังไม่เกิดปฏิกิริยาการแพร่กับผงบรรอนซ์

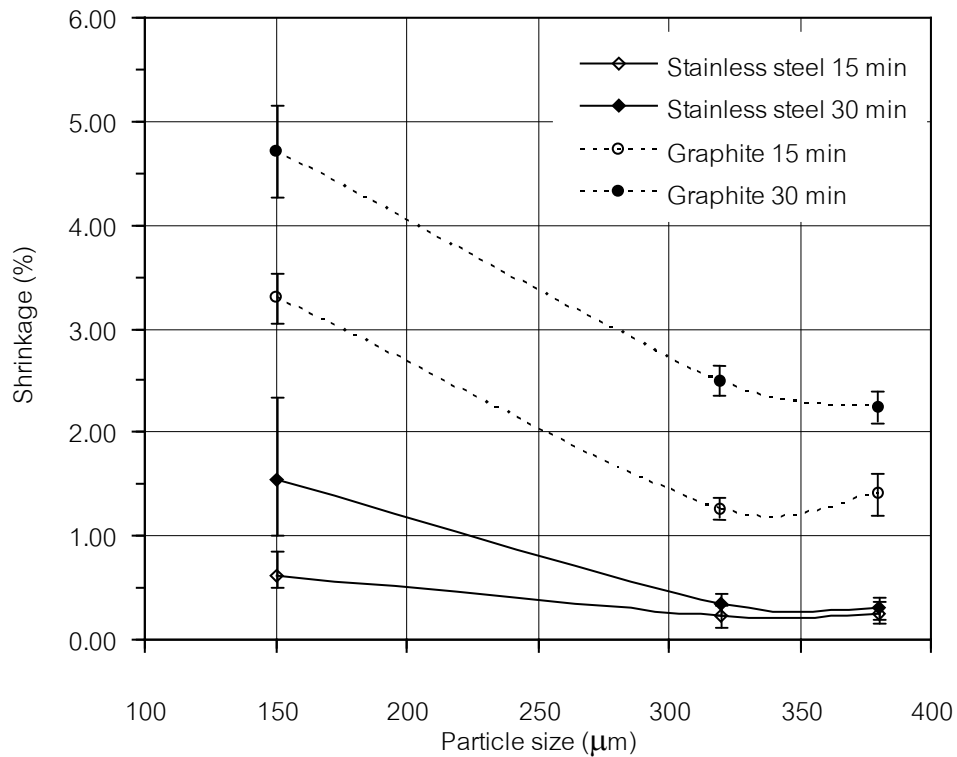
กล่าวโดยสรุปได้ว่าเวลาเป็นตัวแปรที่มีผลกระทบน้อยที่สุดเมื่อเปรียบเทียบกับ อุณหภูมิและขนาดอนุภาค



รูปที่ 3.31 เปรียบเทียบค่าความแข็งแรงของชิ้นงานทึ้งสามขนาดในแม่พิมพ์หั่งสองชนิด อุณหภูมิอบผนึก 900 องศาเซลเซียส เวลาอบผนึก 15 และ 30 นาที



รูปที่ 3.32 ลักษณะชิ้นงานที่ผ่านการทดสอบแรงเฉือน



รูปที่ 3.33 เปรียบเทียบอัตราการหดตัวของชิ้นงานทั้งสามขนาดในแม่พิมพ์ทั้งสองชนิด อุณหภูมิอบผนึก 900 องศาเซลเซียส เวลาอบผนึก 15 และ 30 นาที

3.4 เปรียบเทียบสมบัติของชิ้นงานที่ได้กับชิ้นงานในห้องทดลอง

เมื่อเปรียบเทียบสมบัติต่างๆ ของชิ้นงานบรรอน้ำซึ่งพูนที่ผลิตได้ ดังตารางที่ 3.3 และ 3.4 กับชิ้นงานของบริษัท GKN Sinter Metals ตารางที่ 3.5 จะพบว่าชิ้นงานที่ผลิตได้อยู่ในเกณฑ์เดียวกันกับชิ้นงานของห้องทดลอง

ตารางที่ 3.3 สมบัติของชิ้นงานที่ผลิตได้จากแม่พิมพ์เหล็กกล้าไร้สนิม

| Particle size (μm) | Porosity (%) | Permeability coefficients | | Average CCE pore diameter (μm) | Shear strength (MPa) |
|-----------------------|-----------------|---------------------------|------------------------|-----------------------------------|-------------------------|
| | | min.(m ²) | max.(m ²) | | |
| 150 | 36 | 1.12×10^{-11} | 1.75×10^{-11} | 33 – 39 | 38 – 65 |
| 320 | 44 | 6.09×10^{-11} | 9.17×10^{-11} | 67 – 80 | 13 – 33 |
| 380 | 46 | 8.35×10^{-11} | 1.35×10^{-10} | 85 – 90 | 10 – 37 |

ตารางที่ 3.4 สมบัติของชิ้นงานที่ผลิตได้จากแม่พิมพ์กราไฟต์

| Particle size (μm) | Porosity (%) | Permeability coefficients | | Average CCE pore diameter (μm) | Shear strength (MPa) |
|------------------------------------|-----------------|---------------------------|------------------------|--|-------------------------|
| | | min. (m^2) | max. (m^2) | | |
| 150 | 40 | 1.02×10^{-11} | 1.76×10^{-11} | 29 – 36 | 35 – 78 |
| 320 | 45 | 5.56×10^{-11} | 8.91×10^{-11} | 65 – 79 | 16 – 41 |
| 380 | 46 | 8.61×10^{-11} | 1.09×10^{-10} | 80 – 88 | 14 – 38 |

ตารางที่ 3.5 สมบัติของชิ้นงานของบริษัท GKN Sinter Metals

| Filter type | Porosity (%) | Permeability coefficients | | Average CCE pore diameter (μm) | Shear strength (MPa) |
|-------------|-----------------|---------------------------------|-------------------------------|--|-------------------------|
| | | $\alpha (10^{-12} \text{ m}^2)$ | $\beta (10^{-7} \text{ m}^2)$ | | |
| SIKA-B 8 | 29 | 2 | 52 | 11 | 130 |
| SIKA-B 12 | 32 | 6 | 64 | 16 | 120 |
| SIKA-B 20 | 38 | 10 | 83 | 28 | 110 |
| SIKA-B 30 | 36 | 14 | 89 | 33 | 100 |
| SIKA-B 45 | 41 | 43 | 144 | 55 | 90 |
| SIKA-B 60 | 37 | 50 | 202 | 62 | 90 |
| SIKA-B 80 | 42 | 114 | 282 | 90 | 80 |
| SIKA-B 100 | 42 | 127 | 406 | 98 | 70 |
| SIKA-B 120 | 40 | 230 | 633 | 120 | 60 |
| SIKA-B 150 | 44 | 248 | 643 | 141 | 40 |
| SIKA-B 200 | 48 | 463 | 1046 | 206 | 30 |